Структура и свойства защитных композиционных покрытий Zr-Mo-Si-B и Hf-Mo-Si-B, полученных методом искрового плазменного спекания

Ф. В. Кирюханцев-Корнеев a,* , А. Д. Чертова a,** , С. И. Рупасов a , Т. А. Свиридова a , Т. А. Лобова a , Р. Feng b , Х. Ren b,c , Е. А. Левашов a

^aУниверситет науки и технологий МИСИС, г. Москва, 119049, Россия ^bКитайский горно-технологический университет, Сюйчжоу, 221116, Китай ^cХэнаньская академия наук, г. Чжэнчжо́у, 450046, Китай ^{*}e-mail: kiruhancev-korneey@yandex.ru, **e-mail: alina-sytchenko@yandex.ru

> Поступила в редакцию 27.02.2025 После доработки 19.03.2025 Принята к публикации 26.03.2025

Покрытия в системах Zr-Mo-Si-B и Hf-Mo-Si-B были получены методом искрового плазменного спекания с использованием гетерофазных порошков ZrSi₂-MoSi₂-ZrB₂ и HfSi₂-MoSi₂-HfB₂, изготовленных методом самораспространяющегося высокотемпературного синтеза. Покрытия Zr-Mo-Si-B и Hf-Mo-Si-B характеризовались толщиной 1,3–1,4 мкм, обладали плотной структурой и содержали фазы, вес.%: 61 о-ZrSi₂, 15 h-ZrB₂, 15 t-MoSi₂, 8 m-ZrO₂, 1 c-ZrB и 53 о-HfSi₂, 14 h-HfB₂, 19 t-MoSi₂, 9 m-HfO₂, 5 c-HfB соответственно. Твердость покрытий составляла 15–16 ГПа, модуль упругости – 265–268 ГПа, упругое восстановление – 38–39%. Покрытие Hf-Mo-Si-B характеризовалось минимальными значениями: а) приведенного износа $4,2\times10^{-5}$ мм³H⁻¹м⁻¹ в условиях трения скольжения, б) объема кратера 5×10^3 мкм³ при ударно-динамических испытаниях и в) скорости окисления $<2,3\times10^{-3}$ мг/(см²·с) при 1200 °C. ИПС-покрытия превосходят ниобиевую подложку по износостойкости в \sim 25 раз и жаростойкости на несколько порядков.

Ключевые слова: искровое плазменное спекание, покрытия, $ZrSi_2$ - ZrB_2 - $MoSi_2$, $HfSi_2$ - HfB_2 - $MoSi_2$, механические и трибологические характеристики, жаростойкость

УДК 621.793/.795 https://doi.org/10.52577/eom.2025.61.2.01 ВВЕДЕНИЕ

Дисилициды гафния и циркония являются одними из наиболее перспективных материалов для использования в качестве основы при создании новых защитных покрытий с повышенными износо- и жаростойкостью [1–3]. Покрытия на основе ZrSi₂ и HfSi₂ используются для защиты от окисления деталей, изготовленных из тугоплавких металлов [4–7], композитов [8, 9], графита [10, 11] и других материалов.

Стойкость К высокотемпературному окислению HfSi₂ и ZrSi₂ обусловлена формированием поверхностного слоя оксида кремния SiO₂ который препятствует диффузии атомов кислорода в глубь материала, а также обладает повышенной вязкостью и способствует залечиванию трещин, образующихся при нагреве [12]. В гетерофазных материалах на основе ZrSi₂ локальная перегруппировка частиц, вызванная фазовым переходом от моноклинного оксида циркония ZrO₂ к тетрагональному ZrO₂, является еще одним механизмом залечивания дефектов [13]. Оксиды HfO_2 и ZrO_2 , образующиеся в результате окисления силицидов, имеют высокие температуры плавления и могут реагировать с SiO₂ с образованием силикатов (HfSiO₄, ZrSiO₄), которые обладают повышенной химической стабильностью И низкой кислородопроницаемостью [7, 14, 15]. Многообещающим является введение в состав получаемых керамических материалов на основе ZrSi₂ и HfSi₂ различных функциональных добавок. например, добавка MoSi₂ снижает вероятность перехода ZrO₂ из тетрагональной фазы в моноклинную, который обычно объемное расширение и приводит к растрескиванию поверхностного оксидного слоя [8]. потенциал Большой имеют гетерофазные керамические материалы В системах ZrSi₂-MoSi₂-ZrB₂ HfSi₂-MoSi₂-HfB₂, И полученные с использованием метода самораспространяющегося высокотемпературного синтеза (СВС) и обладающие рекордной жаростойкостью при температурах в диапазоне 1400-1700 °C за счет образования многослойной поверхностной структуры из фаз ZrSiO₄, ZrO₂ и SiO₂ [16–18].

Для нанесения покрытий на основе $ZrSi_2$ и $HfSi_2$ могут быть использованы методы газотер-

мического напыления [1, 9], диффузионного насыщения [11, 19], электроискрового легирования [20], шликерный метод [3, 21], ионноплазменные технологии [2, 5, 22]. В работе [21] шликерно-обжиговым методом были получены покрытия ZrSi₂-MoSi₂-ZrB₂ обладающие высокой стойкостью к окислению при температурах 1500-1700 °C. Катоды-мишени составов HfSi₂-MoSi₂-HfB₂ и ZrSi₂-MoSi₂-ZrB₂ были успешно применены для магнетронного распыления на постоянном токе и в режиме HIPIMS при нанесении покрытий с жаростойкостью до увеличение 1500°C. причем соотношения ион/атом в потоке, присущее методу HIPIMS, значительному повышению приводило К плотности структуры, механических характеристик и жаростойкости покрытий [23, 24].

Перспективным методом нанесения защитных покрытий на основе тугоплавких соединений переходных металлов является искровое плазменное спекание (ИПС, или SPS - spark plasma sintering), которое обеспечивает возможность получения плотных слоев из гетерофазной керамики толщиной до нескольких миллиметров, обладающих высокой адгезией к различным подложкам, как металлическим, так и неметаллическим [25–28]. Ранее метод ИПС применен для получения покрытий на основе диборидов гафния и циркония (HfB₂-SiC-LaB₆, ZrB_2 -MoSi₂-TaSi₂) [27, 28], однако гетерофазные композиции ZrSi₂-MoSi₂-ZrB₂ и HfSi₂-MoSi₂-HfB₂ еще не были изучены.

Цель данной работы — получение покрытий с использованием гетерофазных порошков $ZrSi_2$ - $MoSi_2$ - ZrB_2 и $HfSi_2$ - $MoSi_2$ - HfB_2 методом искрового плазменного спекания, изучение их структуры, механических и трибологических свойств, а также стойкости к высокотемпературному окислению.

МАТЕРИАЛЫ И МЕТОДЫ ИССЛЕДОВАНИЙ

Методом искрового плазменного спекания были получены образцы покрытий в системах Zr-Mo-Si-B и Hf-Mo-Si-B. В качестве подложек использовались диски (Ø12×3 мм) из ниобиевого сплава марки Нб-1. Подложки подвергались полировке на установке Struers Rotopol с использованием наждачной бумаги 1200, затем ультразвуковой очистке в изопропиловом спирте (установка УЗДН-2Т) в течение 10 мин. В качестве прекурсоров покрытий применялись порошковые смеси ZrSi₂-ZrB₂-MoSi₂ и HfSi₂средним размером HfB₂-MoSi₂ co 15-20 мкм, полученные путем измельчения продуктов самораспространяющегося высокотемпературного синтеза. Прекурсоры имели следующий фазовый состав, вес.%: 50 ZrSi₂, 20 MoSi₂, 15 ZrB₂, 15 Si и 56 HfSi₂, 22 MoSi₂, 14 HfB₂, 8 Si [16, 17]. Порошковая смесь размещалась таким образом, чтобы закрыть поверхность подложки со всех сторон. Процесс ИПС проводился на установке Labox 650, Sinter Land. Длительность обработки составляла 15 мин, давление 30 МПа, температура 1300 °C. После процесса ИПС образцы подвергались шлифовке последовательно наждачными бумагами от 120 до 2500 при нагрузке 15 Н, скорости вращения 300 об/мин и длительности 3-10 мин. Полировка образцов проводилась при скорости 150 об/мин c использованием суспензии оксида кремния (0,05 мкм) в течение 15 мин. Часть образцов была разрезана на электроэрозионном станке. Далее проводились запрессовка в токопроводящую смолу на прессе CitoPres Struers и последующая полировка.

Структура и состав покрытий определялись методами растровой электронной микроскопии (РЭМ) и энергодисперсионного анализа (ЭДС) на микроскопе S-3400 Hitachi, оснащенном анализатором Noran 7 Thermo. Рентгенофазовый анализ (РФА) проводился на приборе ДРОН-4 при использовании монохроматизированного излучения CuKa, интервал и шаг съемки равнялись 10-145 и 0,100 град. соответственно. Экспозиция на точку съемки составляла 3,5-4,0 с. Состав покрытий определялся также с помощью оптической эмиссионной спектроскопии тлеющего разряда (ОЭСТР) на приборе Profiler 2 Horiba JY [29].

Наноиндентирование шлифов покрытий в областях, соответствующих выполнялось цилиндрической поверхности торцевой И образца, при нагрузке 30 мН с использованием Nanohardness Tester **CSM** оснащенного индентором Берковича. Также было проведено измерение твердости образцов на твердомере Виккерса марки HVF-50 при нагрузках 10-100 H. Трибологические испытания покрытий проводились на автоматизированной машине трения Tribometer (CSM Instruments), работающей по схеме pin-on-disk, с использованием контртела в виде шарика Al₂O₃ диаметром 6 мм при нормальной нагрузке 5 Н. Циклические ударно-динамические испытания покрытий были проведены на импакт-тестере СетеСоп (Германия) при нагрузке 300 Н с использованием 5 мм шарика из WC-Co при количестве циклов 10⁵. Дорожки износа и кратеры после трибологических испытаний исследовали на оптическом профилометре WYKO-NT1100, а также оптическом микроскопе МБС-9.

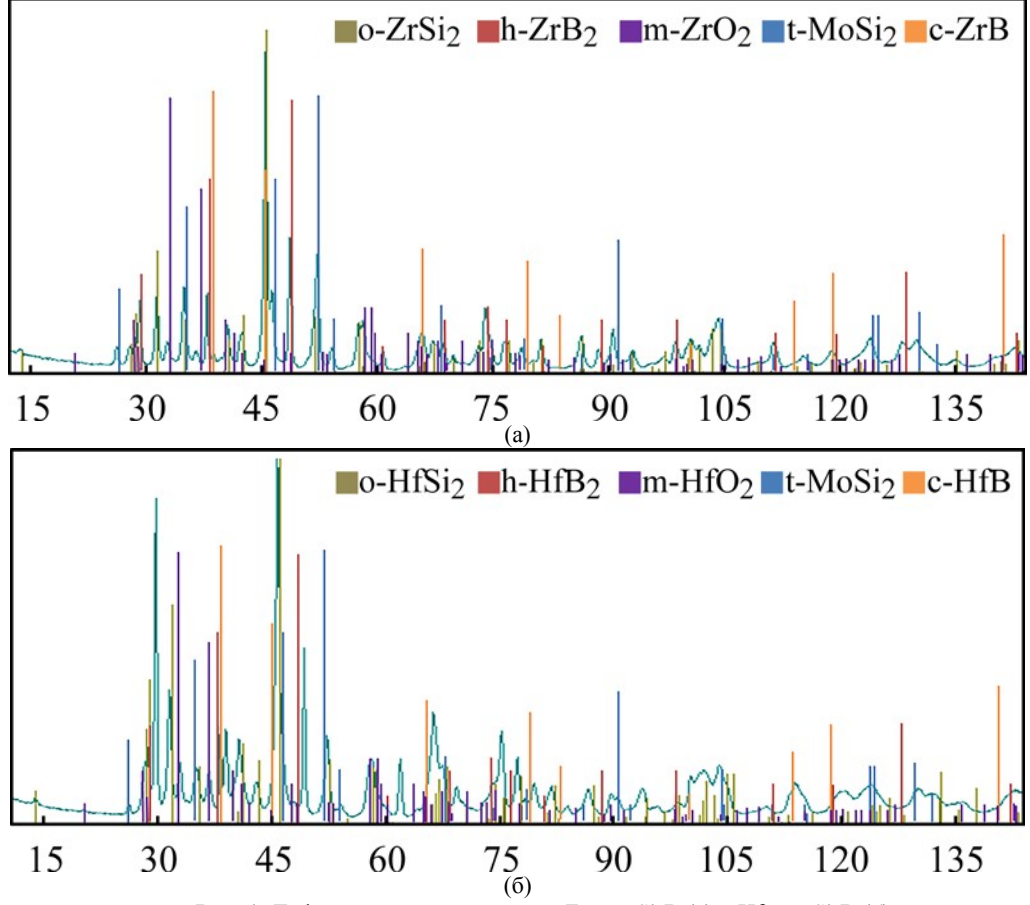


Рис. 1. Дифрактограммы покрытий Zr-Mo-Si-B (а) и Hf-Mo-Si-B (б).

С целью определения кинетики окисления проводились изотермические отжиги на воздухе при температуре $1200~^{\circ}$ С в печи SNOL 7,2/1200 Umega. Образцы до и после отжига взвешивались на весах ВЛ-220М (точность 0,01~мг). РФА отожженных образцов проводился на дифрактометре Bruker D2 Phaser с использованием СиК α излучения.

РЕЗУЛЬТАТЫ И ИХ ОБСУЖДЕНИЕ

Дифрактограммы покрытий Zr-Mo-Si-B и Hf-Mo-Si-B представлены на рис. 1.

РФА, По данным основу цирконийсодержащих покрытий составляла фаза o-ZrSi₂ (61 вес.%), указанная на дифрактограмме, фазы t-MoSi₂ и h-ZrB₂ находились приблизительно в одинаковом количестве (15-16 вес.%). Также в покрытии были обнаружены моноборид и диоксид циркония в количестве 8 и 1 вес.% соответственно (табл. Основой покрытий 1). Hf-Mo-Si-В являлась фаза o-HfSi₂ (53 вес.%), содержание фаз h-HfB₂, t-MoSi₂, m-HfO₂ и с-HfB составляло 14, 19, 9 и 5 вес.% соответственно (табл. 2). Образование оксидных фаз m-ZrO₂ и m-HfO₂ могут образоваться результате взаимодействия материала покрытий остаточным газом, а также с присутствием поверхностных окисных пленок в исходных порошках (в частности, Zr) [17].

На рис. 2 представлены РЭМ-изображения поперечных шлифов покрытий.

Толщина покрытий Zr-Mo-Si-B и Hf-Mo-Si-B составляла 1,36 и 1,30 мм соответственно. В результате процесса ИПС наблюдалось диффузионное взаимодействие покрытий с ниобиевой подложкой с образованием многослойной структуры (рис. 3–5).

Согласно данным РЭМ и ЭДС, в случае покрытия Zr-Mo-Si-B на границе «покрытиеподложка» наблюдалось формированием диффузионного слоя на основе NbSi₂ толщиной ~ 5,0 мкм. Следующий слой толщиной ~ 8 мкм состоял из колонных зерен NbSi₂ и прослоек, близких по составу к фазе Nb₂Si. Затем формировались слои NbSi₂ толщиной 1,7-7,6 мкм и Nb₂Si толщиной 1,7-2,4 мкм. Далее наблюдалось формирование слоя оксида циркония толщиной ~ 3,0 мкм. Образование оксида циркония может быть связано с тем, что при взаимодействии силицидов циркония (ZrSi₂, ZrSi) с ниобием образуются силицид ниобия и металлический цирконий, который в свою очередь активно окисляется остаточным кислородом при температуре процесса ИПС (1300 °C). Последующий слой толщиной 30 мкм преимущественно

| таблина т. Фазорый состав покрытии дл-тио-ы-ы, по даппым т Фи | блица 1. Фазовый состав покрытий Zr-Mo-Si-B, по данным | 1 РФА |
|---|--|-------|
|---|--|-------|

| Фаза | Стр. тип | Об. доля, % | Вес. доля, % | Периоды, нм |
|-------------------------------|----------|----------------|----------------|-------------|
| | | | | a = 0.371 |
| ZrSi ₂ (type C49) | oC12/1 | 60.8 ± 0.1 | $55,2 \pm 0,1$ | b = 1,476 |
| | | | | c = 0.367 |
| MoSi ₂ (type C11b) | tI6/2 | 15.4 ± 0.1 | $18,1 \pm 0,1$ | a = 0.321 |
| Mosi ₂ (type C11b) | 110/2 | 13,4 ± 0,1 | 10,1 ± 0,1 | c = 0.786 |
| ZrB ₂ (type C32) | hP3/4 | $15,0 \pm 0,1$ | $17,0\pm\ 0,1$ | a = 0.317 |
| ZIB ₂ (type C32) | | | | c = 0.353 |
| ZrO ₂ (type C43) | mP12/3 | $7,6 \pm 0,1$ | $8,1 \pm 0,1$ | |
| ZrB (type B1) | cF8/2 | $1,3 \pm 0,0$ | $1,6 \pm 0,0$ | a = 0,465 |

Таблица 2. Фазовый состав покрытий Hf-Mo-Si-B, по данным РФА

| Фаза | Стр. тип | Об. доля, % | Вес. доля, % | Периоды, нм |
|-------------------------------|------------------------------------|----------------|----------------|-------------|
| | | | | a = 0.370 |
| HfSi ₂ (type C49) | oC12/1 | $53,2 \pm 0,1$ | $49,6 \pm 0,1$ | b =1,456 |
| | | | | c = 0.367 |
| HfP (type C22) | hP3/4 | 14,1 ± 0,0 | $18,5 \pm 0,1$ | a = 0.314 |
| HfB ₂ (type C32) | | | | c = 0.348 |
| MoSi (type C11h) | tI6/2 | 18.4 ± 0.1 | $13,5 \pm 0,1$ | a = 0.321 |
| MoSi ₂ (type C11b) | 110/2 | 10,4 ± 0,1 | 15,5 ± 0,1 | c = 0.792 |
| | | | | a = 0.512 |
| HfO ₂ (type C43) | HfO ₂ (type C43) mP12/3 | 8,9 ± 0,1 | $10,5 \pm 0,1$ | b = 0.519 |
| | | | | c = 0,529 |
| HfB (type B1) | cF8/2 | $5,3 \pm 0,0$ | $7,9 \pm 0,0$ | a = 0,463 |

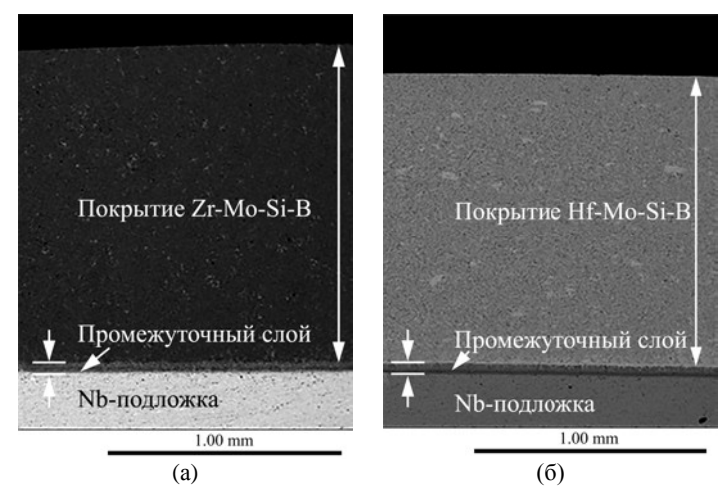


Рис. 2. РЭМ-изображения шлифов покрытий Zr-Mo-Si-B (a) и Hf-Mo-Si-B (б).

содержал матрицу на основе $ZrSi_x$ с зернами MoSi₂ и ZrB₂ размером 2-5 мкм и мелкими включениями ZrC размером 0,2-1,2 мкм. Стоит что образование карбидных отметить, оксидных фаз может быть объяснено реакцией материала порошковой смеси с монооксидом углерода, образующимся в результате взаимодействия графитовой пресс-формы и остаточного газа. Оставшийся слой толщиной ~ 1,35 мм был однороден по составу и содержал фазы ZrSi₂, MoSi₂, MoB, ZrB₂ и ZrC. В случае покрытия Hf-Mo-Si-B на границе «покрытие-подложка» слоев наблюдалось формирование общей толщиной 45–50 мкм: Nb (подложка) \rightarrow Nb₅Si₃ \rightarrow $NbSi_2+NbSi \rightarrow NbSi_2 \rightarrow NbSi_x + HfSi_x + HfC \rightarrow$ HfSi_x+HfC (рис. 4).

Переходный слой толщиной 180 мкм содержал фазы $Hf_5Si_3 + MoSi_2 + HfSi_2 + HfC$. Функциональный верхний слой толщиной $\sim 1,1$ мм состоял из фаз $HfSi_2$, $MoSi_2$, MoB, HfC, HfB_x .

По данным ЭДС, усредненный состав полученных покрытий был следующим, ат.%: 30 Zr, 6 Mo, 50 Si, 14 B для покрытий Zr-Mo-Si-B и 29 Hf, 6 Mo, 55 Si, 10 B для покрытий Hf-Mo-Si-B. Содержание бора было скорректировано методом ОЭСТР и в дальнейшем включено в ЭДС-расчет.

При наноиндентировании покрытия Zr-Mo-Si-B на торцевой поверхности были получены следующие результаты: твердость H=15 ГПа, модуль упругости E=265 ГПа, упругое восстановление W=39%, стойкость к

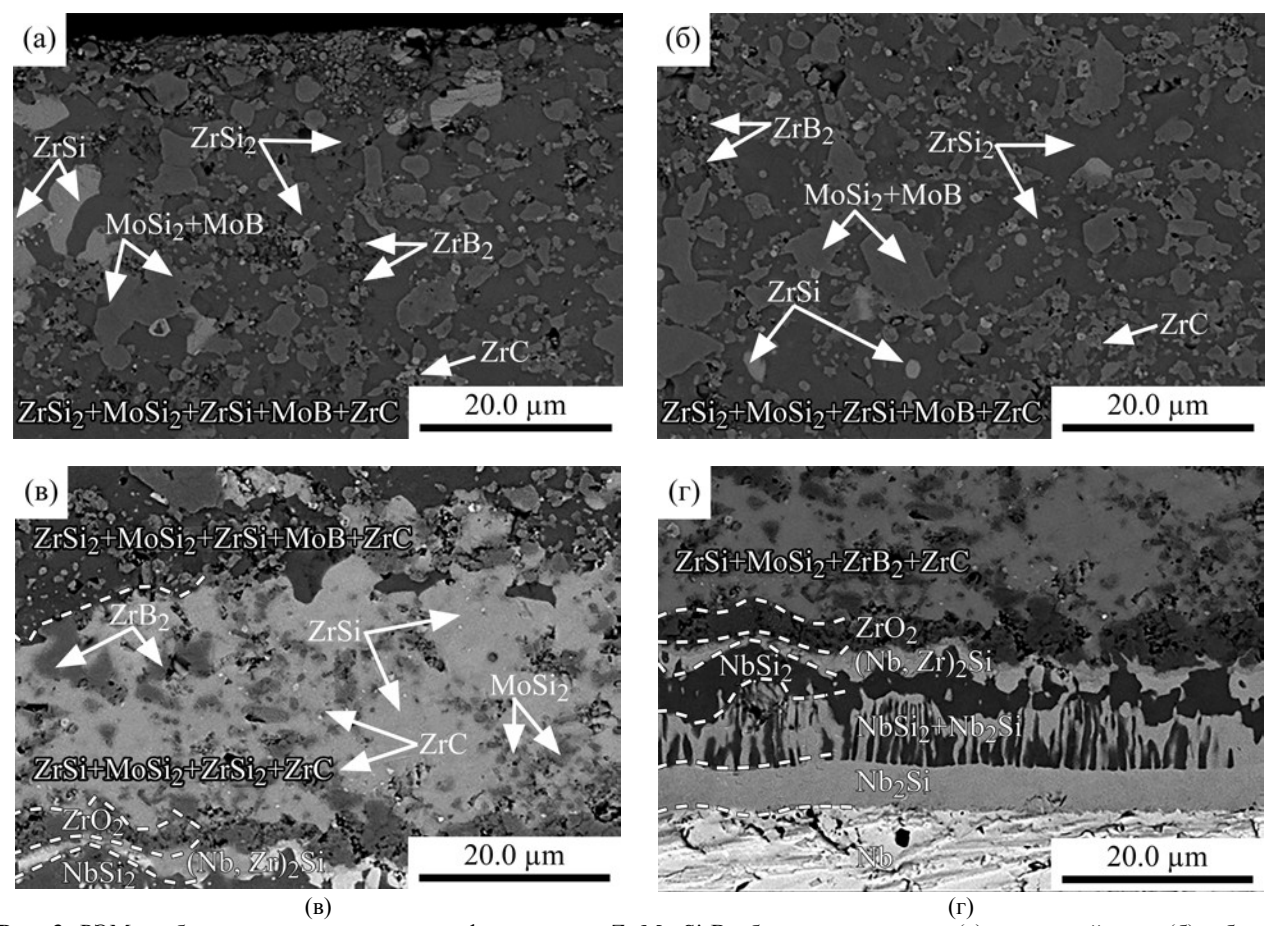


Рис. 3. РЭМ-изображения поперечного шлифа покрытия Zr-Mo-Si-B вблизи поверхности (а), в средней зоне (б), вблизи подложки (в), на границе с подложкой (г).

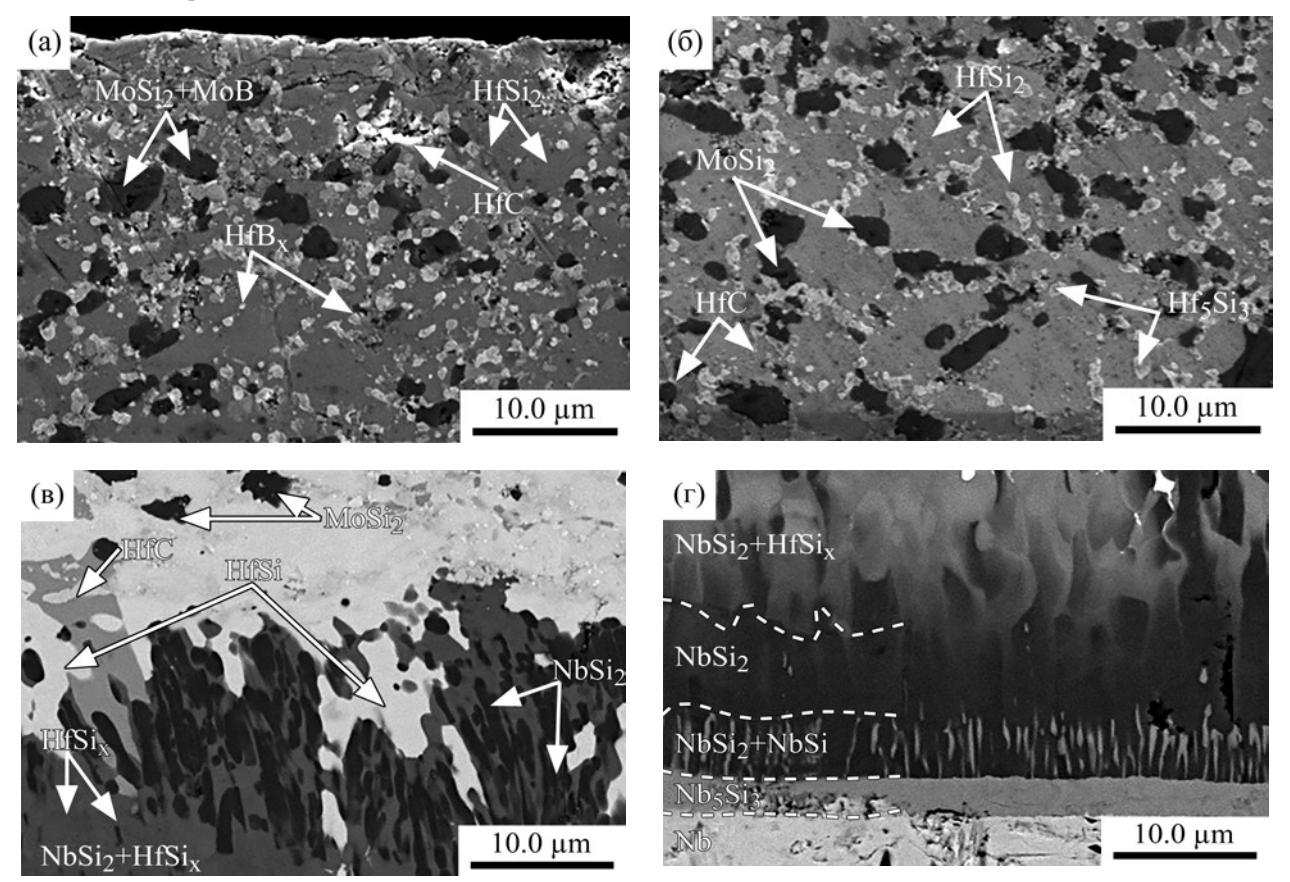


Рис. 4. РЭМ-изображения поперечного шлифа покрытия Hf-Mo-Si-B вблизи поверхности (а), в средней зоне (б), вблизи подложки (в), на границе с подложкой (г).

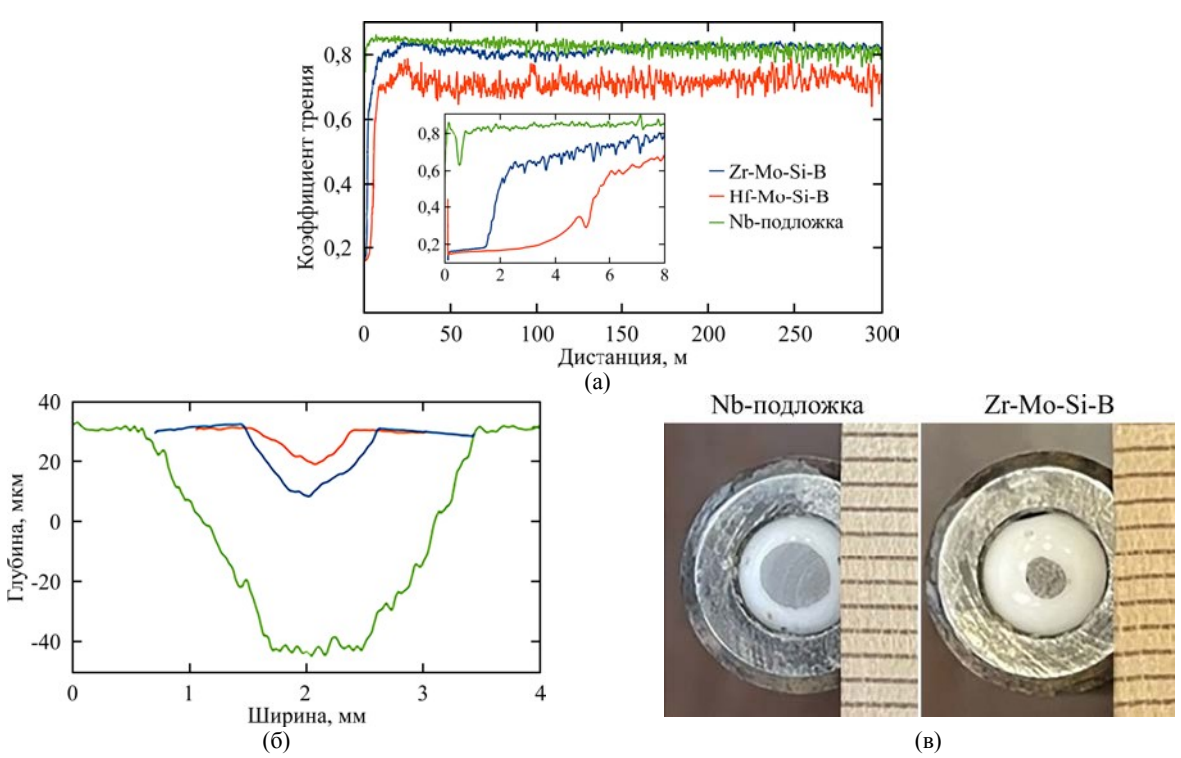


Рис. 5. Зависимость коэффициента трения от дистанции (а), профилограммы дорожек износа на поверхности образцов (б) и фотографии контртел (в) после трибологических испытаний по схеме «стержень–диск».

упругой деформации разрушения H/E = 0.058 и сопротивление пластической деформации $H^{3}/\hat{E}^{2} = 0.048$ ГПа. На цилиндрической поверхфиксировались повышенные значения H = 19 ГПа, E = 403 ГПа, W = 46% и пониженные H/E = 0.047 и $H^3/E^2 = 0.042$ ГПа. Покрытие Hf-Mo-Si-B в обеих зонах показало близкие значения механических характеристик: $H = 15-16 \text{ }\Gamma\Pi\text{a}, E = 268-271 \text{ }\Gamma\Pi\text{a}, W = 38-41\%,$ H/E = 0.055-0.060 и $H^3/E^2 = 0.046-0.057$ ГПа. Стоит отметить, что повышенные значения параметров H/E и H^3/E^2 для образца Hf-Mo-Si-B могут свидетельствовать о высокой износостойкости в условиях трибологического контакта [30, 31]. Исследования методом индентирования при нагрузках 50–100 Н показали, что покрытия Zr-Mo-Si-B и Hf-Mo-Si-B характеризуются твердостью в диапазоне 12–15 ГПа, что хорошо согласуется с данными наноиндентирования.

Трибологические испытания показали, что минимальным средним коэффициентом трения f = 0.70 характеризовалось покрытие Hf-Mo-Si-B (рис. 5a). Покрытие Zr-Mo-Si-B и Nb-подложка имели близкие коэффициенты трения f = 0.81-0.82. Причем в начальный период на дистанции 0-2 м (вставка на рис. 6а) покрытия характеризовались f = 0.18, что в ~ 3 раза ниже значений, полученных ДЛЯ непокрытой подложки. Исследования на оптическом профилометре показали, что глубина дорожки износа покрытий Hf-Mo-Si-B и Zr-Mo-Si-B в 7 и 3 раза меньше глубины, полученной для подложки из Nb сплава (рис. 6б). Минимальный приведенный износ $V_w = 4.2 \times 10^{-5} \text{ мм}^3 \text{H}^{-1} \text{м}^{-1}$ показало покрытие Hf-Mo-Si-B, что может быть связано с высокими параметрами H/E и H^3/E^2 . Приведенный износ покрытия Zr-Mo-Si-B составил $1,2 \times 10^{-4}$ мм³H⁻¹м⁻¹. Подложка обладала максимальным $V_w = 1,1 \times 10^{-3} \text{ мм}^3 \text{H}^{-1} \text{м}^{-1}$. Значение приведенного износа контртела в контакте с покрытиями было минимальным и составляло $\sim 3 \times 10^{-5} \text{ мм}^3 \text{H}^{-1} \text{м}^{-1}$, в то время как при контакте с подложкой износ шарика был существенно выше, V_w достигал $4,5 \times 10^{-4} \text{ мм}^3 \text{H}^{-1} \text{м}^{-1}$ (рис. 6в). Стоит отметить, что нанесение покрытий Zr-Mo-Si-B и Hf-Mo-Si-B на Nb-подложку приводит снижению приведенного износа на один и два порядка соответственно.

Результаты ударно-динамических испытаний показали, что глубина кратеров составила 1,0, 3,2 и 15,0 мкм для покрытий Hf-Mo-Si-B, Zr-Mo-Si-B ниобиевой подложки соответственно. Минимальным объемом кратера $V = 5 \times 10^3$ мкм³ Hf-Mo-Si-B. характеризовалось покрытие Для покрытия Zr-Mo-Si-B $V = 5.6 \times 10^4$ мкм³. Непокрытая подложка показала $V = 2.0 \times 10^6$ мкм³. Таким образом, при нанесении покрытий Hf-Mo-Si-B и Zr-Mo-Si-B износостойкость ниобиевой подложки повышалась на несколько порядков, что связано с ростом твердости в результате нанесения покрытий.

Образцы были подвергнуты отжигу на воздухе при температуре 1200 °С при варьировании длительности изотермической выдержки. Ниобиевая подложка интенсивно окислялась по линейному закону со скоростью $0.6 \, \text{мг/(см}^2 \cdot \text{c})$

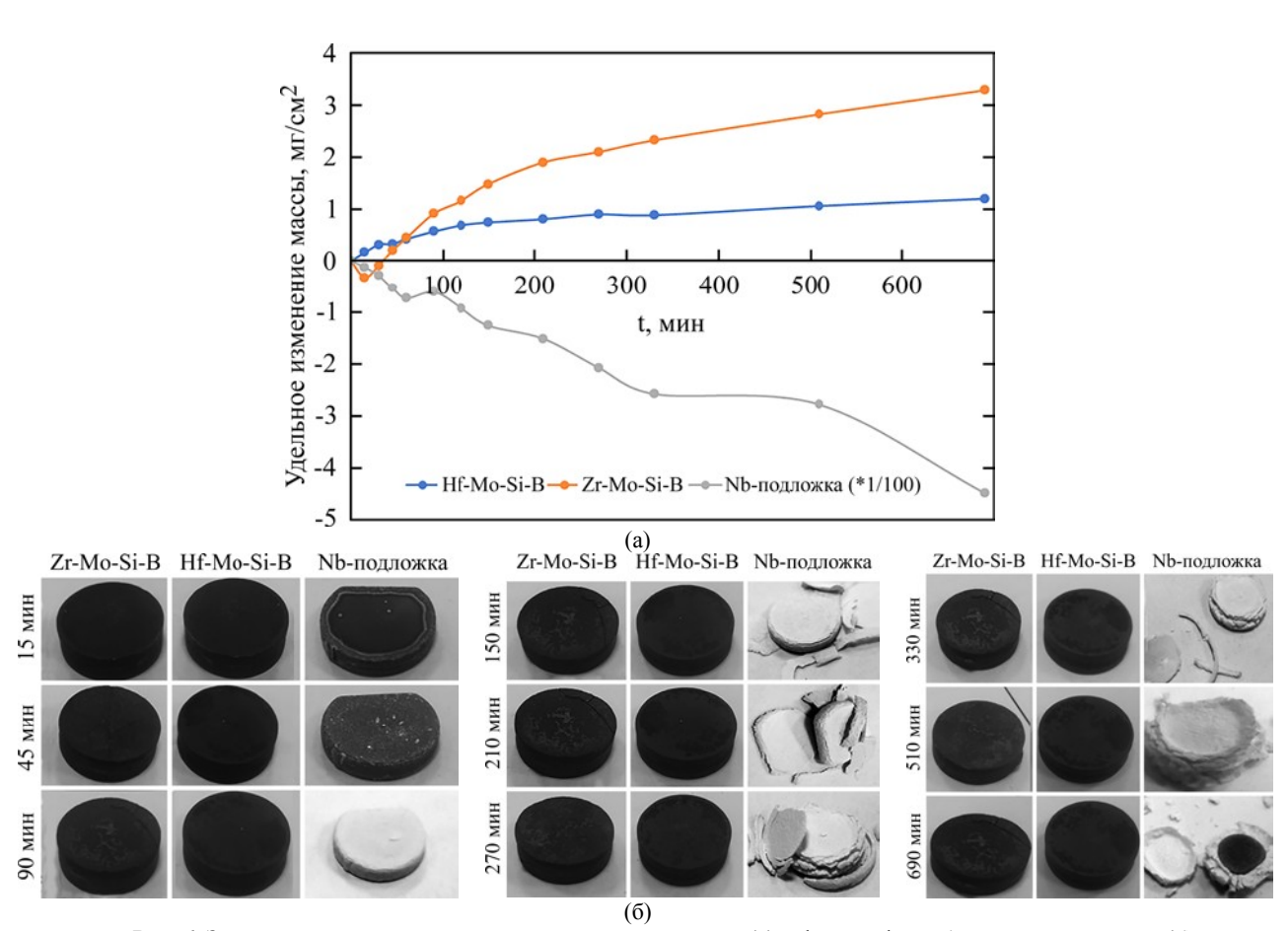


Рис. 6. Зависимость удельного изменения массы от времени (а) и фотографии образцов после отжига (б).

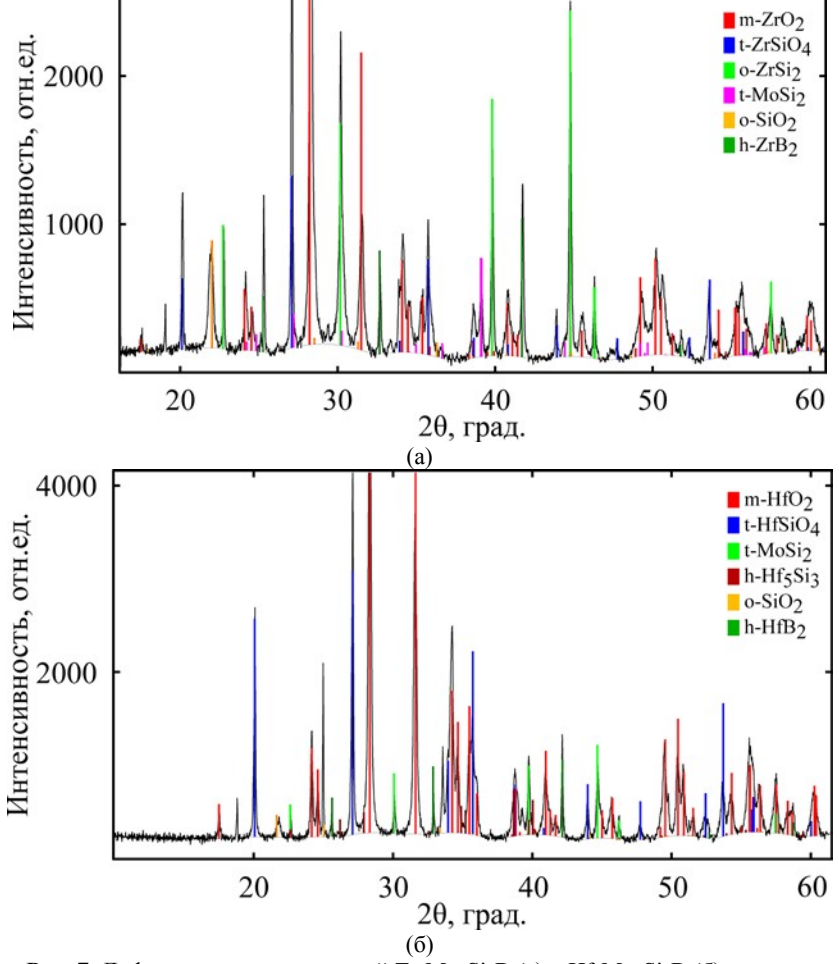


Рис. 7. Дифрактограммы покрытий Zr-Mo-Si-B (а) и Hf-Mo-Si-B (б) после отжига.

(рис. 6а), что связано с низкими защитными свойствами формирующегося на поверхности подложки оксида ниобия (рис. 6б) [32].

Для покрытия Zr-Mo-Si-B кинетика окисления соответствовала параболическому закону, скорость окисления не превышала 5.3×10^{-3} мг/(см²·с)

Для образцов Hf-Mo-Si-B процесс описывался логарифмическим законом, скорость окисления составляла $2,3\times10^{-3}$ мг/(см²·с), что в ~ 2 раза меньше значений, полученных для цирконийсодержащего покрытия. Стоит отметить, что повышенная жаростойкость гафний-содержащих покрытий может быть связана с более высокой температурой плавления, термической стабильностью и более низким коэффициентом термического расширения HfO2 по сравнению с ZrO2 [33]. Анализ внешнего вида образцов (рис. 76) показал, что покрытия сохраняют свою целостность и защитные свойства на протяжении всего испытания. В то время как ниобиевая подложка интенсивно окисляется, при выдержке > 90 мин наблюдается хрупкое разрушение образца.

Согласно данным РЭМ и ЭДС, на поверхности покрытий в процессе отжига формировался слой толщиной 10-20 мкм, основу которого составляло боросиликатное стекло (Si:B:O) с кристаллитами фаз ZrO_2 , $ZrSiO_4$ и HfO_2 , $HfSiO_4$.

Результаты РФА подтвердили формирование в процессе отжига фаз m-HfO $_2$ (ICDD 75-6426), t-HfSiO $_4$ (ICDD 75-1628) и m-ZrO $_2$ (ICDD 37-1484), t-ZrSiO $_4$ (ICDD 70-7132) в защитных слоях покрытий Hf-Mo-Si-B и Zr-Mo-Si-B соответственно (рис. 7).

Также на дифрактограммах покрытий наблюдался пик при $2\Theta = 22^{\circ}$, соответствующий фазе o-SiO₂ (ICDD 71-3839), образование которого связано с частичной кристаллизацией аморфного защитного слоя Si:B:O. Стоит отметить, что в работе [34] кристаллизация аморфного SiO₂ наблюдалась при температуре 1200 °C. Также после отжига в образце Zr-Mo-Si-B сохранились фазы o-ZrSi₂ (ICDD 70-8990), t-MoSi₂ (ICDD 72-6181) и h-ZrB₂ (ICDD 65-3389), соответствующие исходному состоянию покрытия. В случае покрытия Hf-Mo-Si-B отмечен фазовый переход орторомбической фазы o-HfSi₂ в гексагональную фазу h- Hf_5Si_3 (ICDD 65-3618), при этом фазы t-MoSi₂ и h-HfB₂ (ICDD 65-3387) сохранялись. Доля фаз (вес.%) для покрытий Zr-Mo-Si-B и Hf-Mo-Si-B составила: 54 m-ZrO₂, 12 t-ZrSiO₄, 5 o-ZrSi₂, 18 t-MoSi₂, 6 o-SiO₂, 5 h-ZrB₂ и 51 m-HfO₂, 25 t-HfSiO₄, 5 h-Hf₅Si₃, 11 t-MoSi₂, 4 o-SiO₂, 4 h-HfB₂ соответственно.

Таким образом, нанесение покрытий предотвращает катастрофическое разрушение

ниобиевого сплава в процессе нагрева на воздухе и снижает скорость окисления минимум на два порядка. Высокая жаростойкость разработанных покрытий Zr-Mo-Si-B и Hf-Mo-Si-B обусловлена формированием защитных поверхностных слоев на основе боросиликатного стекла Si:B:O и кристаллических фаз $m-ZrO_2+t-ZrSiO_4$ и $m-HfO_2+t-HfSiO_4$.

ВЫВОДЫ

Методом искрового плазменного спекания с использованием гетерофазных ZrSi₂-MoSi₂-ZrB₂ и HfSi₂-MoSi₂-HfB₂ были получены покрытия Zr-Mo-Si-B и Hf-Mo-Si-B толщиной 1,36 и 1,30 мкм на подложках из ниобиевого сплава. На границе «подложкапокрытие» наблюдалось формирование подслоев толщиной 55-65 мкм, связанных с взаимной диффузией элементов порошковой смеси и Nb в процессе искрового плазменного спекания. Основными фазами покрытий Zr-Mo-Si-B и Hf-Mo-Si-В являлись o-ZrSi₂, h-ZrB₂, t-MoSi₂ и o-HfSi₂, h-HfB₂, t-MoSi₂ соответственно. Также присутствовали монобориды и диоксиды гафния и циркония.

Покрытия Hf-Mo-Si-B и Zr-Mo-Si-B обладали близкими твердостью Н = 15-16 ГПа, модулем упругости E = 265-268 ГПа и упругим восстановлением W = 38-39%, при этом максимальные стойкость к упругой деформации H/E = 0.060 и пластической сопротивление деформации разрушения $H^3/E^2 = 0.057$ ГПа имел образец Трибологические Hf-Mo-Si-B. испытания показали, что минимальными приведенным износом $V_w = 4.2 \times 10^{-5} \text{ мм}^3 \text{H}^{-1} \text{м}^{-1}$ и объемом кратера $V = 5.0 \times 10^3$ мкм³ характеризовалось покрытие Hf-Mo-Si-B, что связано с высокими параметрами H/E и H^3/E^2 .

Отжиг при температуре 1200 °C показал, что покрытия Hf-Mo-Si-B и Zr-Mo-Si-B характеризуются низкой скоростью окисления $2-5\times10^{-3}$ мг/(см²·с), в то время как Nb-подложка окисляется интенсивно co скоростью 0,610 $M\Gamma/(cM^2 \cdot c)$. Высокая жаростойкость покрытий связана с формированием плотных оксидных слоев на основе аморфной фазы Si:B:O и кристаллических фаз m-ZrO₂+ t-ZrSiO₄ или m-HfO₂+t-HfSiO₄ при нагреве на воздухе.

БЛАГОДАРНОСТЬ

Работа выполнена при финансовой поддержке Российского научного фонда (проект № 23-49-00141). Р. Feng и Х. Ren выражают благодарность Национальному фонду естественных наук Китая за финансовую поддержку (проект № 52261135546).

КОНФЛИКТ ИНТЕРЕСОВ

Авторы заявляют, что у них отсутствует конфликт интересов.

ЛИТЕРАТУРА

- Liu, F., Li, H., Fu, Q., He, X., et. al., ZrSi₂-SiC/SiC gradient coating of micro-structure and anti-oxidation property on C/C composites prepared by SAPS, *Coatings*, 2022, vol. 12, art. ID 1377. https://doi.org/10.3390/coatings12101377
- Glechner, T., Oemer, H.G., Wojcik, T., Weiss, M., et. al., Influence of Si on the oxidation behavior of TM-Si-B_{2±z} coatings (TM = Ti, Cr, Hf, Ta, W), Surf. Coat. Technol., 2022, vol. 434, art. ID 128178. https://doi.org/10.1016/j.surfcoat.2022.128178
- 3. Zhu, X., Ou, C., Li, T., Zhang, Y., et. al., HfSi₂-HfB₂-SiC coating prepared at low temperature to protect SiC-coated C/C composites against oxidation at 1473–1973 K, *Ceram. Int.*, 2024, vol. 50, 8, p. 13490. https://doi.org/10.1016/j.ceramint.2024.01.261
- 4. Kim, J.J., Kim, H.G. and Ryu, H.J., High-temperature oxidation behaviors of ZrSi₂ and its coating on the surface of Zircaloy-4 tube by laser 3D printing, *Nucl. Eng. Technol.*, 2020, vol. 52, p. 2054. https://doi.org/10.1016/j.net.2020.02.018
- Yeom, H., Maier, B., Mariani, R., Bai, D., et. al., Magnetron sputter deposition of zirconium-silicide coating for mitigating high temperature oxidation of zirconium-alloy, *Surf. Coat. Technol.*, 2017, vol. 316, p. 30.
 - https://doi.org/10.1016/j.surfcoat.2017.03.018
- Kim, M., Noh, H., Lee, G.C., Yeom, H., et. al., Flow boiling critical heat flux enhancement in ZrSi₂ accident-tolerant fuel cladding with porous structures, *Appl. Therm. Eng.*, 2022, vol. 207, art. ID 118164. https://doi.org/10.1016/j.applthermaleng.2022.118164
- Zhao, W., Wang, Y., Wang, S., Zou, Y., et al., Enhanced high-temperature oxidation resistance of HfSi2-modified silicon based multilayer ceramic coating on Nb alloy prepared by a novel strategy, *J. Europ. Ceram. Soc.*, 2023, vol. 43, p. 4717. https://doi.org/10.1016/j.jeurceramsoc.2023.03.051
- 8. Wang, L., Fu, Q., Zhao, F. and Zhao, Z., Constructing self-healing ZrSi₂-MoSi₂ coating for C/C composites with enhanced oxidation protective ability, *Surf. Coat. Technol.*, 2018, vol. 347, p. 257. https://doi.org/10.1016/j.surfcoat.2018.05.002
- Liu, F., Li, H., Gu, S., Yao, X., et. al., Effect of Y₂O₃ on the oxidation properties of ZrSi₂/SiC coating prepared by SAPS on the carbon-carbon composites, *Ceram. Int.*, 2018, vol. 44, no. 13, p. 15065. https://doi.org/10.1016/j.ceramint.2018.05.138
- Zheng, Z., Zhao, H., Li, Z., Liu, X., et. al., Research on microstructure and oxidation resistant property of ZrSi₂-SiC/SiC coating on HTR graphite spheres, *Ceram. Int.* 2018, vol. 44, p. 4795. https://doi.org/10.1016/J.CERAMINT.2017.12.065
- 11. Zheng, Z.J., Zhou, P., Zhao, H.S., Li, Z.Q., et. al., ZrSi₂-SiC/SiC anti-oxidant coatings prepared on graphite spheres by two-step pack cementation

- process, *Key Eng. Mater.* 2017, vol. 727, p. 953. https://doi.org/10.4028/www.scientific.net/KEM.727. 953
- Sun, J., Fu, Q.G., Guo, L.P. and Wang, L., Silicide coating fabricated by HAPC/SAPS combination to protect niobium alloy from oxidation, *ACS Appl. Mater. Interfaces*, 2016, vol. 8, p. 15838. https://doi.org/10.1021/acsami.6b04599
- Hager, M.D., Greil, P., Leyens, C., Van Der Zwaag, S., et. al., Self-healing materials, *Adv. Mater.* 2010, vol. 22, p. 5424. https://doi.org/10.1002/ADMA.201003036
- 14. Yeom, H., Maier, B., Mariani, R., Bai, D., et. al., Evolution of multilayered scale structures during high temperature oxidation of ZrSi₂, *J. Mater. Res.*, 2016, vol. 31, p. 3409. https://doi.org/10.1557/JMR.2016.363
- 15. Song, K., Fan, J., Li, W., Jiang, J., et. al., Effect of ZrO₂ types on ZrSiO₄ formation, *Ceram. Int.* 2019, vol. 45, p. 23444. https://doi.org/10.1016/j.ceramint.2019.08.048
- Astapov, A.N., Pogozhev, Y.S., Prokofiev, M.V., Lifanov, I.P., et. al., Kinetics and mechanism of hightemperature oxidation of the heterophase ZrSi₂-MoSi₂-ZrB₂ ceramics, *Ceram. Int.*, 2019, vol. 45, p. 6392. https://doi.org/10.1016/j.ceramint.2018.12.126
- 17. Astapov, A.N., Pogozhev, Yu.S., Prokofiev, M.V., Potanin, A.Yu., et. al., Kinetics and mechanism of the oxidation of ZrSi₂-MoSi₂-ZrB₂ ceramics in air at temperatures up to 1400°C. *Int. J. Heat Mass Transfer*, 2019, vol. 140, p. 12.
- https://doi.org/10.1016/j.ijheatmasstransfer.2019.05.100
- 18. Pogozhev, Y., Lemesheva, M.V., Potanin, A., Rupasov, S.I., et. al., Heterophase ceramics in the Hf–Si–Mo–B system obtained by a combination of SHS and hot pressing methods, *Izv. Non-Ferr. Metall.*, 2019, vol. 3. p. 36. https://doi.org/10.17073/0021-3438-2019-3-36-46
- 19. Wang, Z., Wang, Y., Wang, S., Zou, Y., et. al., ZrSi₂/SiO₂-Nb₂O₅/NbSi₂ multi-layer coating formed on niobium alloy by HAPC combined with LPDS: Microstructure evolution and high temperature oxidation behavior, *Corr. Sci.*, 2022, vol. 206, art. ID 110460.
 - https://doi.org/10.1016/j.corsci.2022.110460
- 20. Zamulaeva, E.I., Kudryashov, A.E., Kiryukhantsev-Korneev, P.V., Bashkirov, E.A., et. al., Protective heterophase coatings produced by electrospark deposition and high-power impulse magnetron sputtering, *Surf. Eng. Appl. Electrochem.*, 2024, vol. 60, p. 607. https://doi.org/10.3103/S1068375524700182
- 21. Lifanov, I.P., Astapov, A.N. and Terentieva, V.S., Deposition of heat-resistant coatings based on the ZrSi₂-MoSi₂-ZrB₂ system for protection of non-metallic composite materials in high-speed high-enthalpy gas flows, *J. Phys.: Conf. Ser.*, 2020, vol. 1713, art. ID 012025. https://doi.org/10.1088/1742-6596/1713/1/012025
- 22. Kiryukhantsev-Korneev, P., Sytchenko, A., Pogozhev, Y. Vorotilo, S., et. al., Structure and properties of Zr-Mo-Si-B-(N) hard coatings obtained

- by D.C. magnetron sputtering of ZrB₂-MoSi₂ target, Materials (Basel), 2021, vol. 14, no. 8, art. ID 1932. https://doi.org/10.3390/MA14081932
- 23. Kiryukhantsev-Korneev, P.V., Chertova, A.D., Chudarin, F.I., Ren, X., et al., Hf-Mo-Si-B oxidationresistant coatings produced by magnetron sputtering in DCMS and HIPIMS modes, Phys. Metals Metallogr., 2024, vol. 125, p. 1578. https://doi.org/10.1134/S0031918X23602767
- 24. Chertova, A.D., Chudarin, F.I., Vakhrusheva, I.O., Kaplansky, Yu.Yu., et. al., Oxidation-resistant Zr-Mo-Si-B coatings deposited by DCMS and HIPIMS methods, Powder Metall. Funct. Coat., 2024, vol. 18, no. 4, p. 55.
 - https://doi.org/10.17073/1997-308X-2024-4-55-68
- 25. Zhu, L., Zhang, S., Ye, F., Ren, X., et. al., Recycling of MoSi₂-based industrial solid wastes for the fabrication and high-temperature oxidation behavior of MoSi₂-ZrSi₂-SiC composite coating, Composites Part B: Engineering, 2024, vol. 274, art. ID 111281. https://doi.org/10.1016/j.compositesb.2024.111281
- 26. Mao, C., Ren, X., Ji, X., Xu, L., et. al., Hightemperature oxidation resistance of spent MoSi₂ modified ZrB2-SiC-MoSi2 coatings prepared by spark plasma sintering, Ceram. Int., 2023, vol. 49, no. 20, p. 32913.
 - https://doi.org/10.1016/j.ceramint.2023.07.265
- 27. Ji, X., Wu, B., Zhang, Y., Wang, P., et. al., Enhanced oxygen blocking properties of HfB2-SiC coating by LaB₆-HfB₂ synergistic reinforcement, Surf. Coat. Technol., 2024, vol. 476, art. ID 130208. https://doi.org/10.1016/j.surfcoat.2023.130208
- 28. Ji, X., Chen, Y., Yao, L., Zhang, Y., et. al., Enhanced oxidation resistance of ZrB₂-MoSi₂ coating through MoSi₂-TaSi₂ double-silicide alloying modifying, *Corr*. 2024, vol. 233, art. 112070. https://doi.org/10.1016/j.corsci.2024.112070
- 29. Kiryukhantsev-Korneev, F.V., Possibilities of glow discharge optical emission spectroscopy in the investigation of coatings, Russ. J. Non-Ferrous Met., 2014, vol. 55, p. 494.
 - https://doi.org/ 10.3103/S1067821214050137
- 30. Beake, B.D., The influence of the H/E ratio on wear resistance of coating systems - Insights from smallscale testing, Surf. Coat. Technol., 2022, vol. 442, art. ID 128272.

- https://doi.org/10.1016/j.surfcoat.2022.128272
- 31. Leyland, A. and Matthews, A., On the significance of the H/E ratio in wear control: A nanocomposite coating approach to optimised tribological behavior, Wearing, 2000, vol. 246, https://doi.org/10.1016/S0043-1648(00)00488-9
- 32. Ramachandran, K., Jayakody, Y.C. and Jayaseelan, D.D., Oxidation behaviour and its effect on fracture toughness of Niobium metal, Int. J. Refract. Met. Hard Mater., 2023, vol. 110, art. ID 106033. https://doi.org/10.1016/j.ijrmhm.2022.106033
- Haggerty, R.P., Sarin, P., Apostolov, Z.D., Driemeyer, P.E., et. al., Thermal expansion of HfO₂ and ZrO₂, J. Am. Ceram. Soc., 2014, vol. 97, p. 2213. https://doi.org/10.1111/jace.12975
- Reka, A.A., Pavlovski, B., Anovski, Bogoevski, S., et. al., Phase transformations of amorphous SiO₂ in diatomite at temperature range of 1000–1200°C, Geologica Macedonica, 2015, vol. 29, 1, p. 87.

Summary

Coatings in the Zr-Mo-Si-B and Hf-Mo-Si-B systems were obtained by spark plasma sintering (SPS) using heterophase powders ZrSi₂-MoSi₂-ZrB₂ and HfSi₂-MoSi₂-HfB2, manufactured by the self-propagating hightemperature synthesis method. The Zr-Mo-Si-B and Hf-Mo-Si-B coatings were characterized by a thickness of 1.3-1.4 µm, had a dense structure and contained phases in wt.%: 61 o-ZrSi₂, 15 h-ZrB₂, 15 t-MoSi₂, 8 m-ZrO₂, 1 c-ZrB and 53 o-HfSi₂, 14 h-HfB₂, 19 t-MoSi₂, 9 m-HfO₂, 5 c-HfB, respectively. The coating hardness was 15-16 GPa, the elastic modulus was 265-268 GPa, and the elastic recovery was 38-39%. The Hf-Mo-Si-B coating was characterized by the minimum values of: a) reduced wear of 4.2·10⁻⁵ mm³N⁻¹m⁻¹ under sliding friction conditions, b) crater volume of 5.10³ µm³ under impact-dynamic tests, and c) oxidation rate of $<2.3\cdot10^{-3}$ mg/(cm²·s) at 1200 °C. SPS coatings are superior to niobium substrates in wear resistance by ~ 25 times and oxidation resistance by several orders of magnitude.

Keywords: spark plasma sintering, ZrSi₂-ZrB₂-MoSi₂, HfSi₂-HfB₂-MoSi₂, mechanical and tribological characteristics, oxidation resistance